論文 高強度モルタルの凝結および強度発現に及ぼすシリカフュームと高性能 AE 減水剤の影響

菅田 紀之*1・寺澤 貴裕*2

要旨: 水結合材比が 25%である高強度モルタルのシリカフューム置換率および高性能 AE 減水剤添加率を変化させて凝結試験および圧縮強度試験を行い, 次の結果を得た。凝結の始発,終結時間および強度の発生時期は,シリカフューム置換率あるいは高性能 AE 減水剤添加率が大きいほど遅くなる。材齢 24時間までの圧縮強度は,高性能 AE 減水剤添加率が大きいほど小さく,材齢 3日以後の強度は添加率が大きいほど大きくなる。また,高性能 AE 減水剤の添加量が等しければ,シリカフューム置換率が多いほど材齢 24時間までの圧縮強度は大きくなり,材齢 3日以後の強度は置換率が多いほど小さくなる。

キーワード:高強度モルタル、シリカフューム、高性能 AE 減水剤、凝結、強度発現

1. はじめに

近年、より大きな強度を持つコンクリートをコンクリート構造物に使用する事例が増加してきている。しかしながら、高強度コンクリートでを用いた場合には、自己収縮量が大きいことにより、マスコンクリートではなくても、若材齢時におけるの発生が問題になることがある。このようなひ割れの発生が問題になることがある。このようなひ割れの発生が問題になることが表熱特性のには、コンクリートの収縮および発熱特性のには、コンクリープ特性や強度特性が明らかにならない。ひび割れの発生が問題となる若材齢時における高強度コンクリートのクリープに関する研究としては、シリカフュームの影響を検討した著者ほかの研究⁵⁾がある。

コンクリートの高強度化あるいは高流動化の ためには、シリカフュームや高性能 AE 減水剤等 の混和材料の使用が不可欠である。これらの混 和材料は、フレッシュ性状に影響を及ぼすばか りではなく、ポゾラン反応やセメント粒子の分 散効果等により、凝結硬化特性にも影響を及ぼ すものと考えられる。

そこで本研究では, 高強度モルタルの凝結特

性および強度発現特性に及ぼすシリカフューム 置換率の影響, さらに高性能 AE 減水剤の添加率 の影響を明らかにする目的で、プロクター貫入 抵抗試験装置による凝結試験および凝結直後か らの圧縮強度試験を行った。

2. 実験の概要

2.1 使用材料およびモルタルの配合

本研究に用いた高強度モルタルの製作に使用した材料および配合を表-1および表-2に示す。モルタルの単位水量は、単位水量が 140 kg/m^3 程度の高強度コンクリートの配合から換算して 230 kg/m^3 とし、目標空気量は 1.5 %とした。実際の空気量は 0.7 %から 2.6 %であった。結合材に

表一1 使用材料

材 料 (記号)	性質等
セメント (C)	普通ポルトランドセメント 密度: 3.15 g/cm³
シリカフューム (SF)	比表面積: 230,000 cm ² /g 密度: 2.2 g/cm ³
細骨材 (S)	陸砂 密度: 2.69 g/cm ³
高性能 AE 減水剤 (SP)	ポリカルボン酸系

- *1 室蘭工業大学 工学部建設システム工学科助教授 博(工) (正会員)
- *2 北海道開発局 札幌開発建設部 修(工)(正会員)

W/B (%)	SF/B (%)	単位量 (kg/m³)				SD/D (0/)
		W	С	SF	S	SP/B (%)
25	0	230	920	0	1245	0.45, 0.50, 0.55
25	5	230	874	46	1228	0.6, 0.7, 0.8, 1.0
25	10	230	828	92	1211	0.6, 0.8, 1.0, 1.2
25	20	230	736	184	1178	1.0, 1.2, 1.4, 1.8

表-2 モルタルの配合

B = C + SF

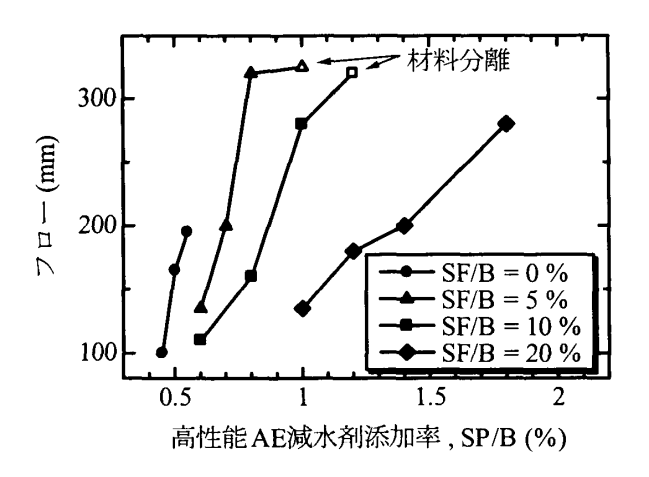
は普通ポルトランドセメントおよびシリカフュ ームを用い,シリカフューム置換率 (SF/B, 結合 材中の質量比)を0%(無混入),5%,10%,20% の 4 種類とした。水結合材比はすべてのケース で25%である。混和剤にはポリカルボン酸系の 高性能 AE 減水剤を用い、添加量については、ス ランプフローが 600 mm 程度の高強度コンクリ ートをスクリーニングして得られたモルタルの フロー (落下運動なし) が 200 mm 程度であった ので, モルタルのフローが 200 mm を中心として 得られるようにした。 高性能 AE 減水剤の添加率 (SP/B, 結合材に対する質量比)は、シリカフュ ーム置換率0%では0.45%から0.55%, シリカ フューム置換率 5%では 0.6%から 1.0%, シリ カフューム置換率 10%では 0.6%から 1.2%, シ リカフューム置換率 20%では 1.0%から 1.8%で ある。

2.2 フロー試験

モルタルのフロー試験は JIS R 5201 に従い, 上部内径 70 mm, 下部内径 100 mm, 高さ 60 mm のフローコーンを用いて行った。しかしながら, モルタルの流動性が大きい場合, 15 回の落下運 動によりモルタルがフローテーブルからこぼれ 落ちたため,本研究ではフローコーンを上に取 去った後のモルタルの広がりの径をフロー値と して検討を行っている。

2.3 凝結試験

凝結試験は JIS A 1147 に規定されているプロクター貫入抵抗試験により行った。貫入抵抗値が $3.5~N/mm^2$ になるまでの練混ぜ時からの経過時間を始発時間とし、 $28.0~N/mm^2$ になるまでの



図ー1 フロー試験結果

経過時間を終結時間として検討している。試験 環境は、20 ℃±1 ℃に制御された室内である。

2.4 圧縮強度試験

圧縮強度試験は、JIS A 1108 に従い行った。試験に用いた供試体は直径 100 mm、高さ 200 mmの円柱供試体であり、3 体の平均値で検討を行っている。試験材齢は終結直後(終結から 1、2 時間程度)、12 時間、16 時間、(20 時間)、24 時間、3 日、7 日、28 日とした。また、材齢 24 時間までは 20 ± 1 $^{\circ}$ $^{\circ}$ $^{\circ}$ に制御された室内において封緘養生、それ以降は、 20 ± 1 $^{\circ}$ $^{\circ}$ の水中養生を行った。供試体端面の処理は、材齢 24 時間未満では硬質セッコウを用いたキャッピング、材齢 24 時間からは研磨機を用いた研磨により行った。

3. 試験結果および考察

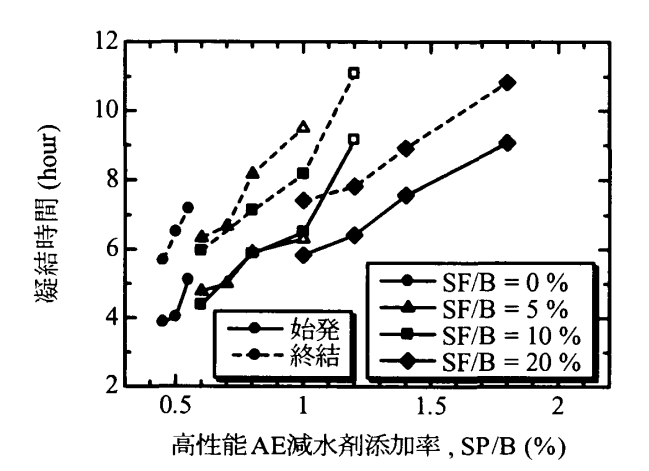
3.1 フロー試験結果

図-1に各配合のモルタルのフロー試験結果を示す。シリカフューム置換率 (SF/B) が 0%の場合には,200 mm 以上のフローを得るために高

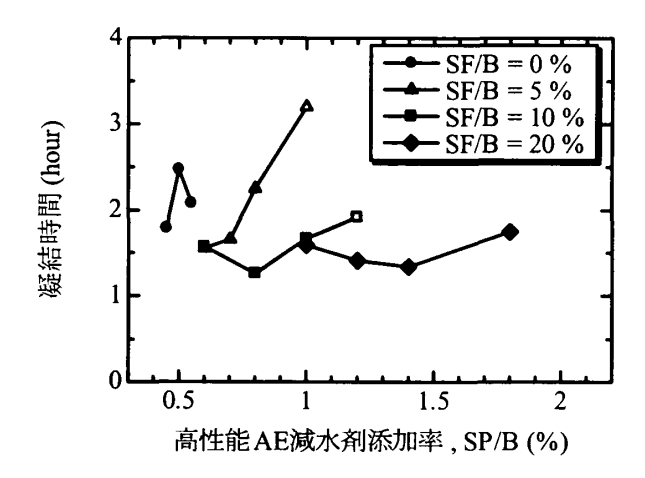
性能 AE 減水剤を増加させると, 著しい材料分離 が発生し供試体の製作が困難であったため、試 験を行わなかった。また、SF/B が 5 %で高性能 AE 減水剤添加率 (SP/B) が 1.0 %および SF/B = 10%で SP/B = 1.2%のモルタルでは, 若干の材料 分離が発生していた。図より、シリカフューム 置換率が大きくなるほど、高性能 AE 減水剤の必 要量が増加することがわかる。200 mm のフロー を得るために必要な添加率 (SP/B) は, SF/B = 0%に対しては0.55%, SF/B = 5%に対しては 0.7%, SF/B=10%に対しては0.87%, SF/B=20% に対しては 1.4%である。ただし、SF/B = 10%に 対する値はデータ間を直線補間して求めた。ま た、コンシステンシーの変化に及ぼす高性能 AE 減水剤の添加率の影響はシリカフューム置換率 が小さいほど大きいことがわかる。

3.2 凝結試験結果

凝結試験の結果を図ー2に示す。図(a)は始発 時間および終結時間,図(b) は始発から終結まで に要した時間を示している。図(a)より、材料分 離が発生したケースを除くと, 高性能 AE 減水剤 添加率と始発時間および終結時間の関係は、ほ ぼ一つの直線を用いて表すことができるといえ る。この関係は、高性能 AE 減水剤添加率が大き くなるに従い、つまりフローが大きく流動性が 大きくなるに従い、凝結時間が遅くなるという ものであり, 高性能 AE 減水剤による遅延作用を 表している。3.1 で求めた 200 mm のフローを得 るために必要な高性能 AE 減水剤添加率での凝 結時間を表-3に示す。表より、シリカフュー ム置換率 (SF/B) が 0%と 5%で始発時間が同程 度になっているが、フローが同程度の場合、シ リカフューム置換率が多くなるほど始発時間が 遅くなるといえる。また、終結時間についても 同様にシリカフューム置換率が多くなるほど遅 くなるといえる。次に、始発から終結までに要 する時間について検討を行う。始発から終結ま でに要する時間は,若干の材料分離が発生した ケースを除くと、1.3 時間から 2.5 時間程度であ る。また、シリカフューム置換率 (SF/B) が 10%



(a) 始発および終結



(b) 始発から終結までの時間 図-2 凝結試験結果

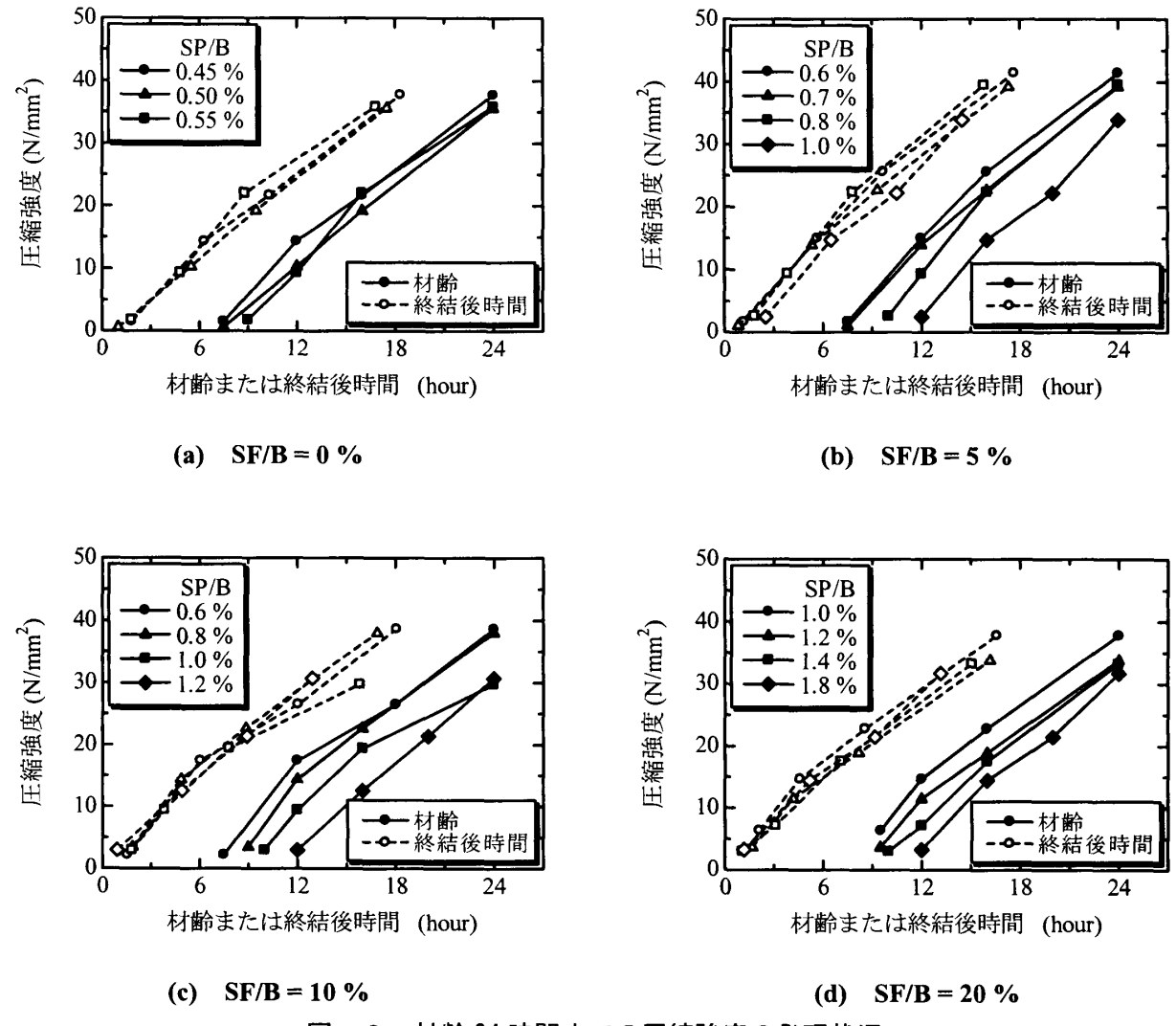
表-3 フロー200 mm の場合の凝結時間

SF/B (%)	SP/B (%)	始発時間 (時間)	終結時間 (時間)
0	0.55	5.1	7.2
5	0.7	5.0	6.7
10	0.87	6.1	7.5
20	1.4	7.6	8.9

と 20 %で、同程度の時間になっているが、0 % から 10 %の置換率では、シリカフューム置換率が多いほど始発から終結に要する時間が短くなる傾向にあることがわかる。

3.3 圧縮強度試験結果

図-3に材齢24時間までの圧縮強度の発現状況をシリカフューム置換率別に示す。横軸に材



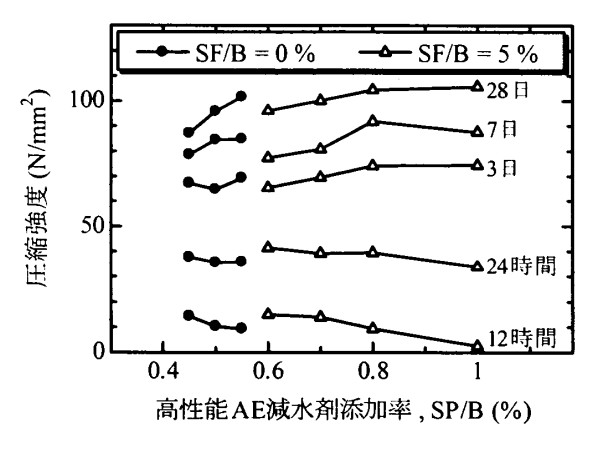
図ー3 材齢 24 時間までの圧縮強度の発現状況

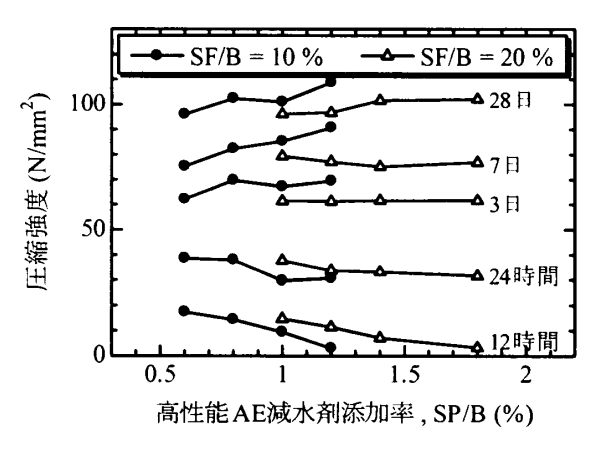
齢を取った強度変化を黒マークと実線で示し、 横軸に終結からの時間を取った強度変化を白抜きマークと破線で示している。まず、横軸に材齢を取った場合の強度発現性状について検討を行う。図より、シリカフューム置換率 (SF/B) が0%の場合には、高性能 AE 減水剤添加率 (SP/B) の差が小さいこともあり、強度発生材齢に大きな差が現れていない。しかしながら、SF/B が5%以上の場合では、強度発生材齢に4時間程度の差が現れている。また、材齢24時間までの圧縮強度は、いずれのシリカフューム置換率においても高性能 AE 減水剤添加率が少ないほど大きくなっていることがわかる。セメントペーストの硬化および強度の発現が終結付近からであることを考慮すると、単純に材齢で比較した場合

表-4 強度の発生時期(終結後時間)

SF/B	SP/B	発生時期 (時間)	SF/B	SP/B	発生時期 (時間)
(%)	(%)	(四間)	(%)	(%)	(时间)
0	0.45	1.3		0.6	0.9
	0.50	0.8		0.8	0.9
	0.55	1.1	10	1.0	0.9
				1.2	-0.3
	平均	1.1		平均	0.6
5	0.6	0.6		1.0	0.2
	0.7	0.5		1.2	0.5
	0.8	1.1	1.1 20		-0.1
	1.0	1.7		1.8	0.0
	平均	1.0		平均	0.2

には終結時間の差が圧縮強度に影響し,特に強 度発現が著しい若材齢時においてはその影響が





(a) SF/B = 0 %, SF/B = 5 %

(b) SF/B = 10 %, SF/B = 20 %

図ー4 材齢 12 時間以降の圧縮強度の変化

大きく現れた結果であると考えられる。次に、 横軸に終結からの時間を取った場合の検討を行 う。図より、いずれのシリカフューム置換率に おいても強度の発生時期がそろっており、強度 発現が終結から 2 時間以内に開始していること が確認できる。この強度の発生時期を終結から の時間で示すと表-4のようになる。この強度 発生時期は、強度のデータ間を直線補間して求 めた直線が横軸と交わる時間である。表より, シリカフューム置換率が大きくなるに従い、強 度発生時期の終結からの時間が短くなっている ことがわかる。また、図-3からわかるように、 横軸を終結からの時間に取った場合には、高性 能 AE 減水剤の添加率の差による強度差は少な いことがわかる。図から、材齢あるいは終結後 時間と強度の関係は、材齢24時間程度までは若 干上に凸になる曲線を用いて表すことが可能で あるといえる。

図ー4に材齢12時間以降の圧縮強度の変化を 横軸に高性能 AE 減水剤添加率を取って示す。図 (a) は、シリカフューム置換率 (SF/B) が0%お よび5%、図(b) は、SF/Bが10%および20% の結果である。材齢24時間までは、前述のよう に終結時間の影響により、高性能 AE 減水剤添加 率が多くなると圧縮強度が低くなっていること がわかる。しかしながら、材齢が3日以後にな るとシリカフューム置換率(SF/B)が0%、5% および10%の場合に、高性能 AE 減水剤添加率

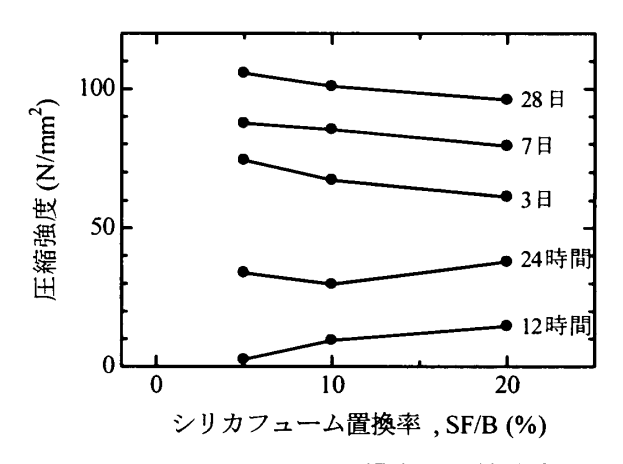


図-5 SP/B=1.0%の場合の圧縮強度

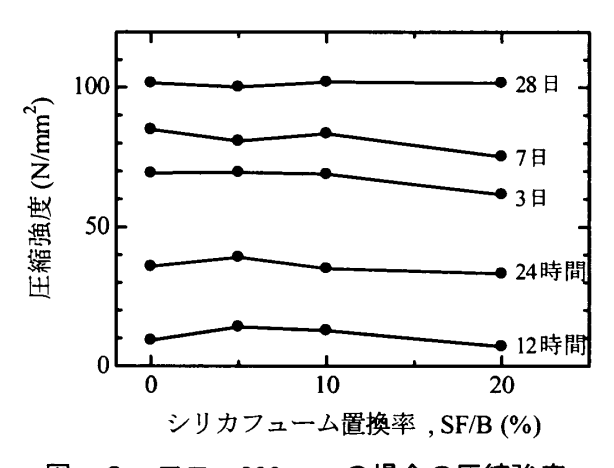


図-6 フロー200 mm の場合の圧縮強度

が多いほど圧縮強度が大きくなっている。また、 材齢 28 日では SF/B = 20 %の場合においても高 性能 AE 減水剤添加率が多いほど圧縮強度が大 きくなっている。以上のことより、高性能 AE 減水剤が強度発現に及ぼす影響をまとめると次 のようになる。材齢 24 時間程度までの初期の段 階では,高性能 AE 減水剤の凝結遅延効果により 添加率が多いほど強度の発生時期が遅くなり強 度が小さくなる。しかしながら,終結からの時 間で整理した場合には,強度差は少なくなる。 材齢が 24 時間を過ぎると,セメントおよびシリ カフューム粒子の分散効果による水分との接触 面積の増大により,添加率が多いほど水和反応 が活発になり強度が大きくなる。

図-5は、シリカフューム置換率 (SF/B) が 5 %から 20 %で共通して試験の行われた高性能 AE 減水剤添加率 (SP/B) が 1.0 %における圧縮 強度の変化を、シリカフューム置換率を横軸に 取り示している。材齢 12 時間では、終結時間の 差が大きく影響するため、シリカフューム置換率が多いほど強度が大きくなっている。しかし ながら、材齢 12 時間から 3 日までの強度増加は、シリカフューム置換率が小さいほど大きく、 材齢 3 日以後の強度はシリカフューム置換率が多いほど小さくなっている。

図ー6は、200 mmのフローを得るために必要な高性能 AE 減水剤添加率における圧縮強度の変化を示している。ただし、シリカフューム置換率 (SF/B) が 10 %のケースでは、データ間を直線補完して強度を求めている。材齢 24 時間までは SF/B = 5 %のケースで圧縮強度が最も大きく、SF/B がそれよりも大きくても小さくても強度は小さくなっている。材齢 3 日および 7 日の圧縮強度は、SF/B が 10%以下の場合、ほぼ等しくなっているが、SF/B = 20 %では 10 N/mm² 程度小さくなっている。しかしながら、材齢 7 日から 28 日にかけての強度増進は SF/B = 20 %でもっとも大きく、材齢 28 日においては他のケースと同程度の圧縮強度になっている。

4. まとめ

本研究では、高強度モルタルの凝結および強度発現特性に及ぼすシリカフュームと高性能AE減水剤の影響について検討を行った。本研究から得られた結果をまとめると、以下のようになる。

- (1) コンシステンシーの変化に及ぼす高性能 AE 減水剤の影響はシリカフューム置換率 が小さいほど大きい。
- (2) 高性能 AE 減水剤の添加率と凝結時間は正 の相関をもつ直線関係にある。
- (3) フローが同程度であれば、シリカフューム 置換率が多いほど凝結時間が遅くなる。
- (4) 高性能 AE 減水剤の添加率が多いほど,強度 の発生時期が遅れ,材齢 24 時間までの圧縮 強度は小さくなる。また,高性能 AE 減水剤 の添加率が多いほど,材齢 3 日程度からの 圧縮強度は大きくなる。
- (5) 高性能 AE 減水剤の添加率が同じ場合,シリカフューム置換率が多いほど材齢 24 時間までの圧縮強度は大きくなり、材齢 3 日程度からの圧縮強度は小さくなる。

参考文献

- 1) 田澤栄一・宮沢伸吾・重川幸司:水和反応に よる硬化セメントペーストのマクロな体積 収縮,セメント・コンクリート論文集, No. 45, pp.122 – 127, 1991.12
- 2) 菅田紀之・佐藤克俊:シリカフュームを用いた若材齢高強度コンクリートの圧縮クリープ,コンクリート工学年次論文集, Vol. 24, No. 1, pp.387 392, 2002.6
- 3) 菅田紀之・寺澤貴裕: 若材齢高強度コンクリートの圧縮クリープに及ぼすシリカフュームの影響, コンクリート工学年次論文集, Vol. 25, No. 1, pp.425 430, 2003.6
- 4) 小澤満津雄・国森亮平・車戸勝巳・森本博昭: 若材齢高強度コンクリートのクリープ特性 に関する基礎的研究,コンクリート工学年次 論文集, Vol. 22, No. 2, pp.631 - 636, 2000.6
- 5) 伊藤秀敏・田澤栄一・米倉亜州夫・大島邦裕: 高強度コンクリートの若材齢引張クリープ, セメント・コンクリート論文集, No.53, pp.635 - 641, 1999.12